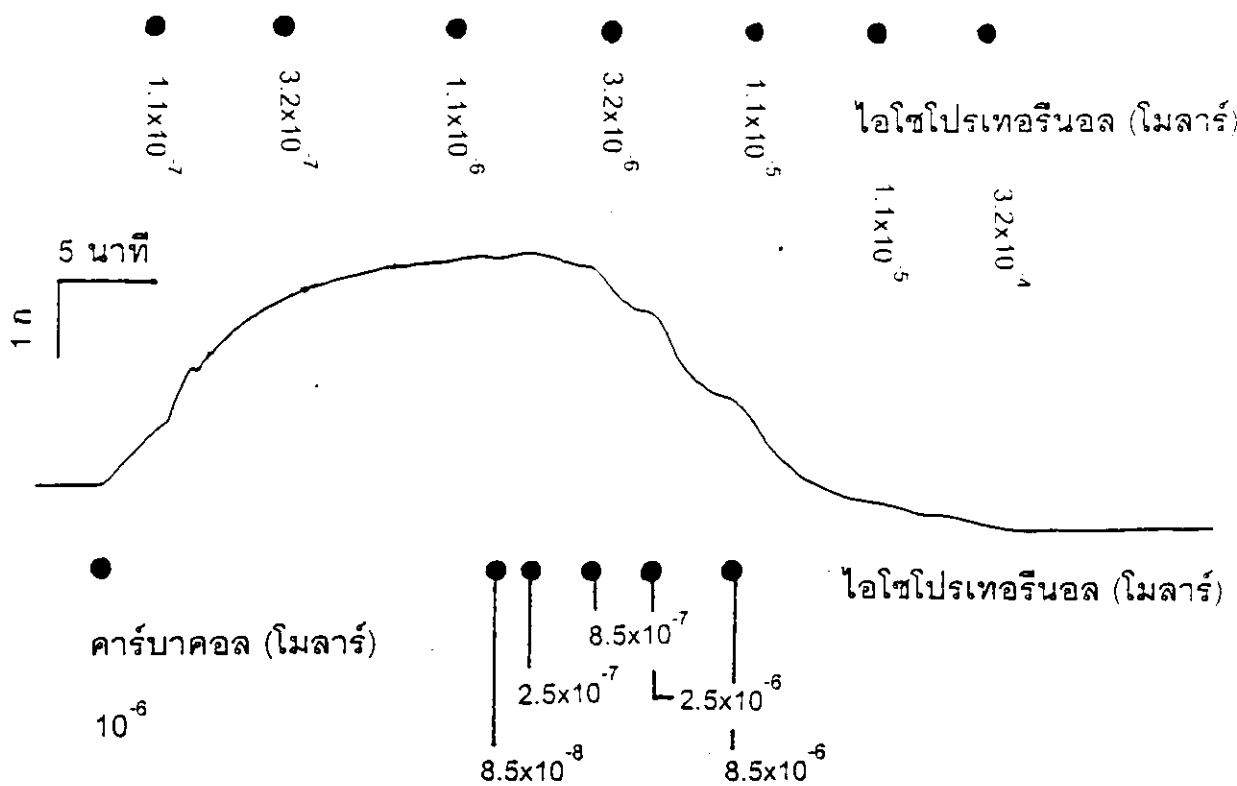
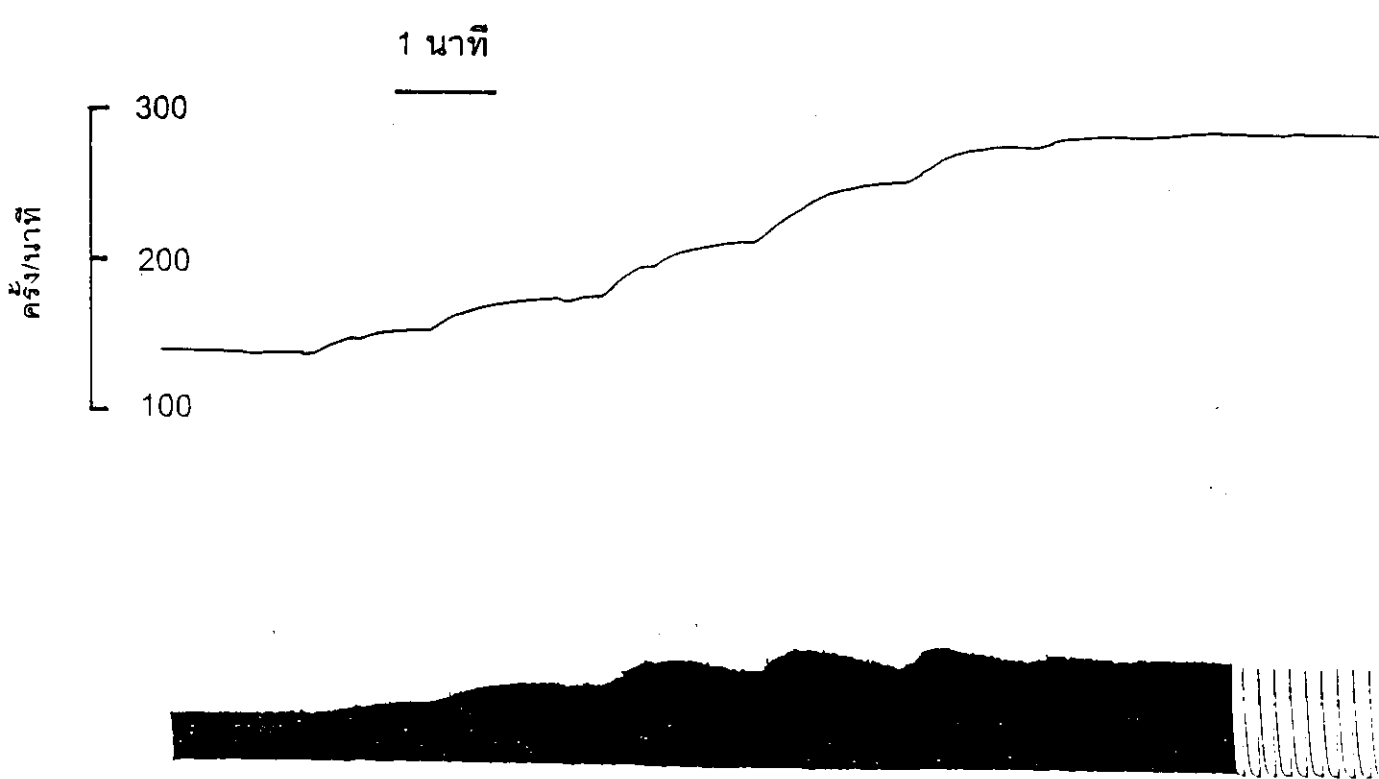
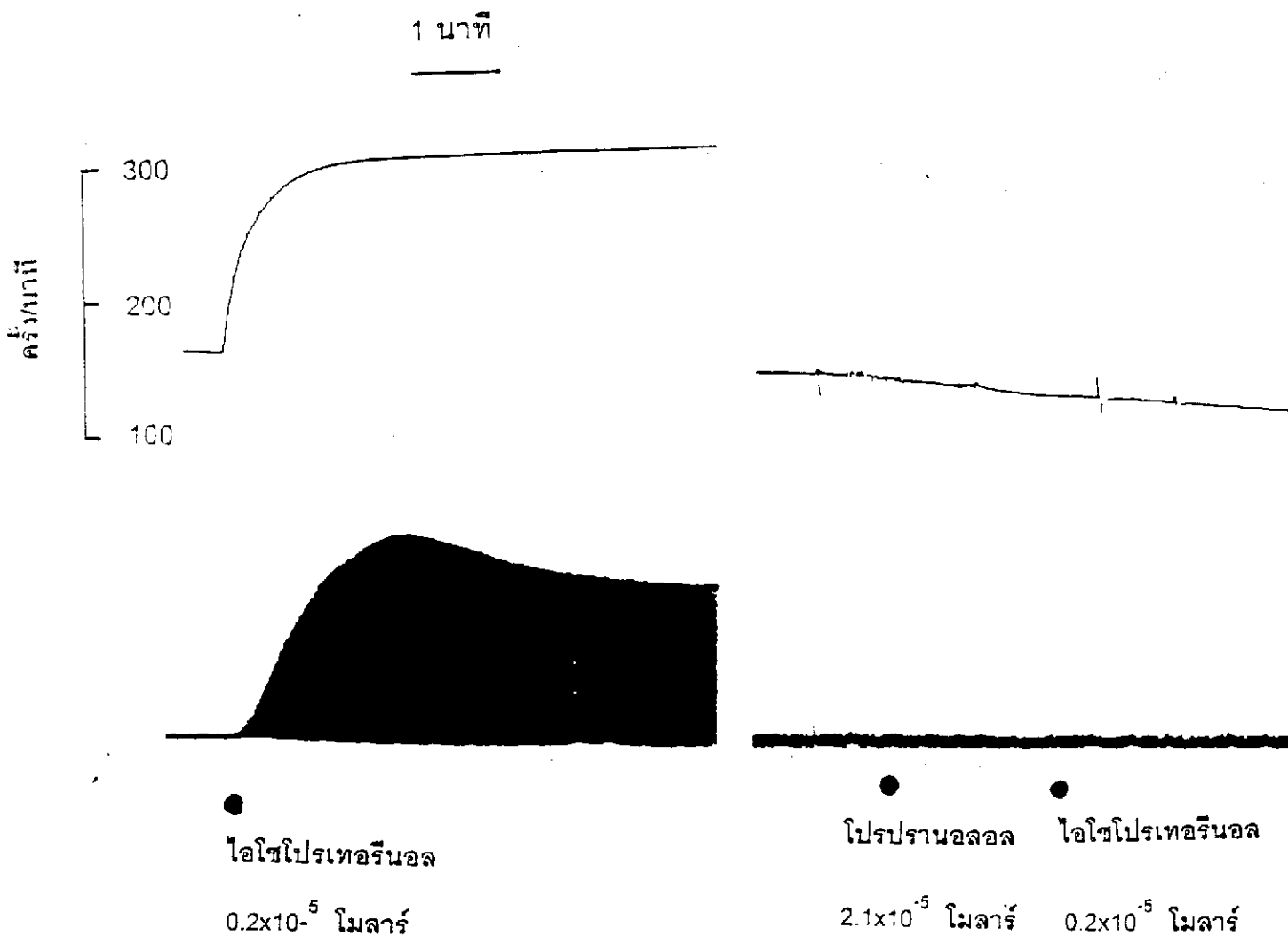


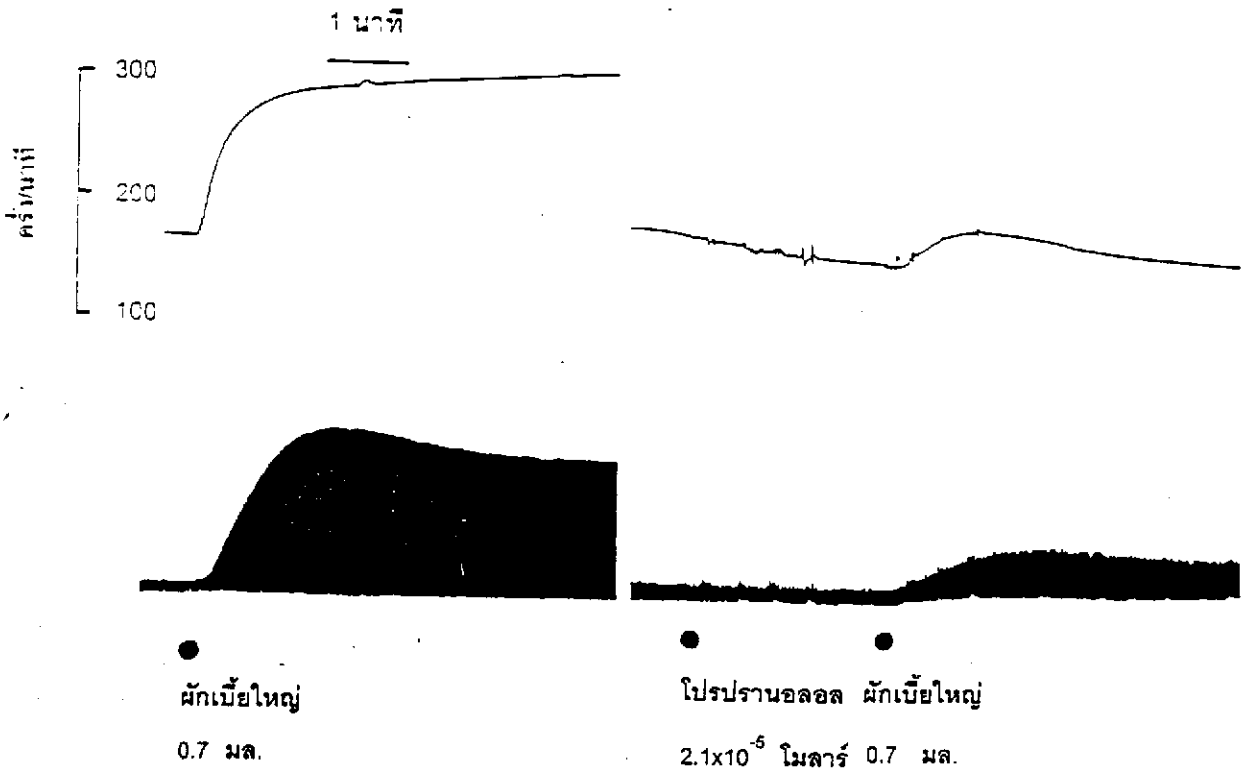
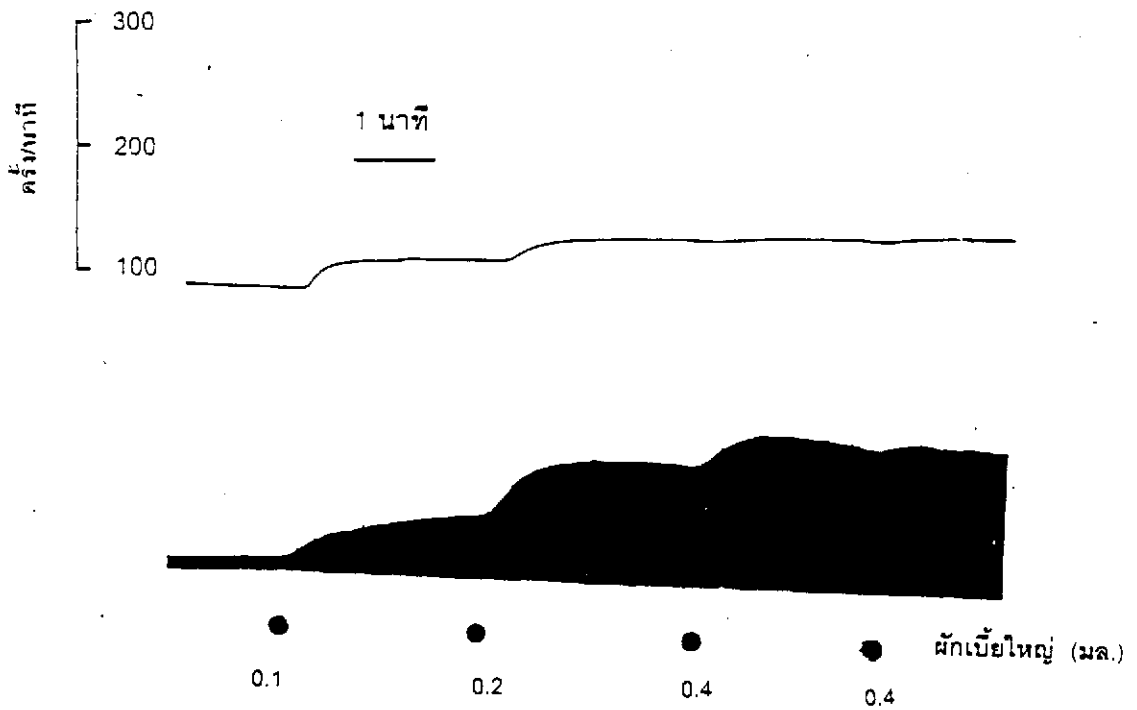
รูปที่ 1 ไดอะแกรมแสดงการจัดเอเตรียคู้ในหลอดทดลองสำหรับแช่เนื้อเยื่อ เอเตรียคู้จะแช่อยู่ในสารละลาย Krebs - Henseleit ซึ่งพ่นด้วยฟองอากาศผสมออกซิเจน-คาร์บอนไดออกไซด์ (95 : 5) อุณหภูมิของสารละลายจะรักษาไว้ให้คงที่ที่ 37 องศาเซลเซียส



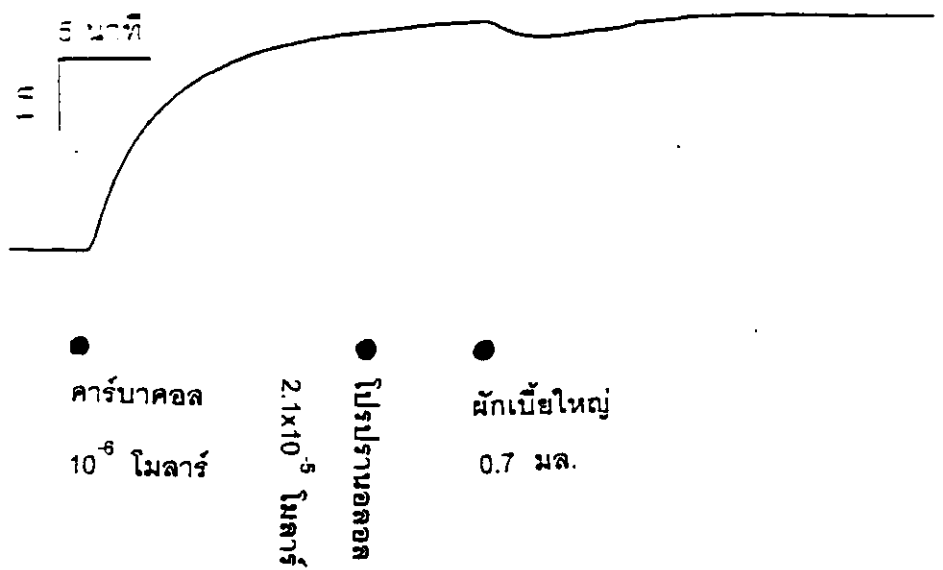
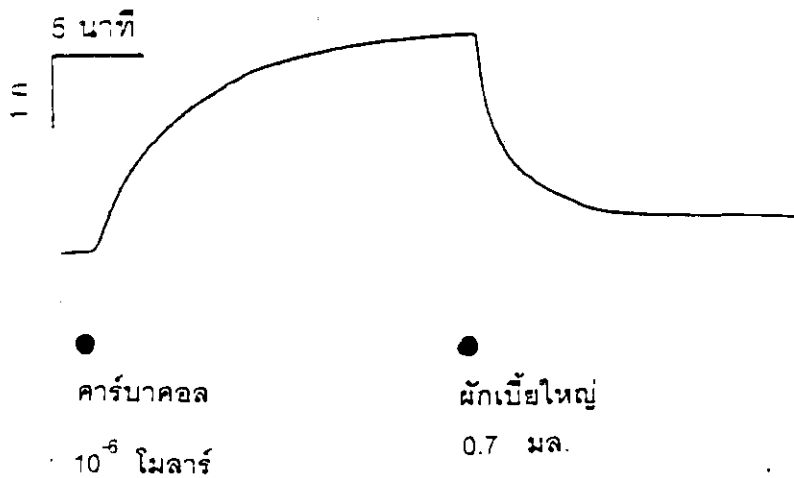
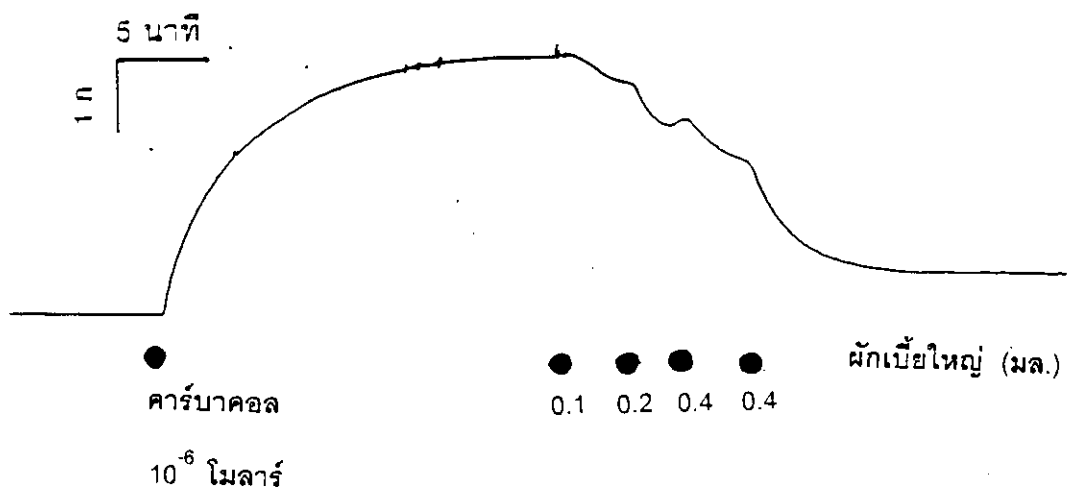
รูปที่ 2 กราฟแสดงความสัมพันธ์ระหว่าง ความเข้มข้นของไอโซโปรเทอรินอลและการตอบสนองของเอเดรีย ทั้งในด้านความแรงในการบีบตัว (กราฟบน) และอัตราเร็วในการบีบตัว (กราฟกลาง) และการตอบสนองของกล้ามเนื้อเรียบของหลอดเลือดที่เหนี่ยวนำให้เกิดการหดตัวโดยคาร์บาคอลที่ความเข้มข้น 10^{-6} ไมลาร์ (กราฟล่าง)



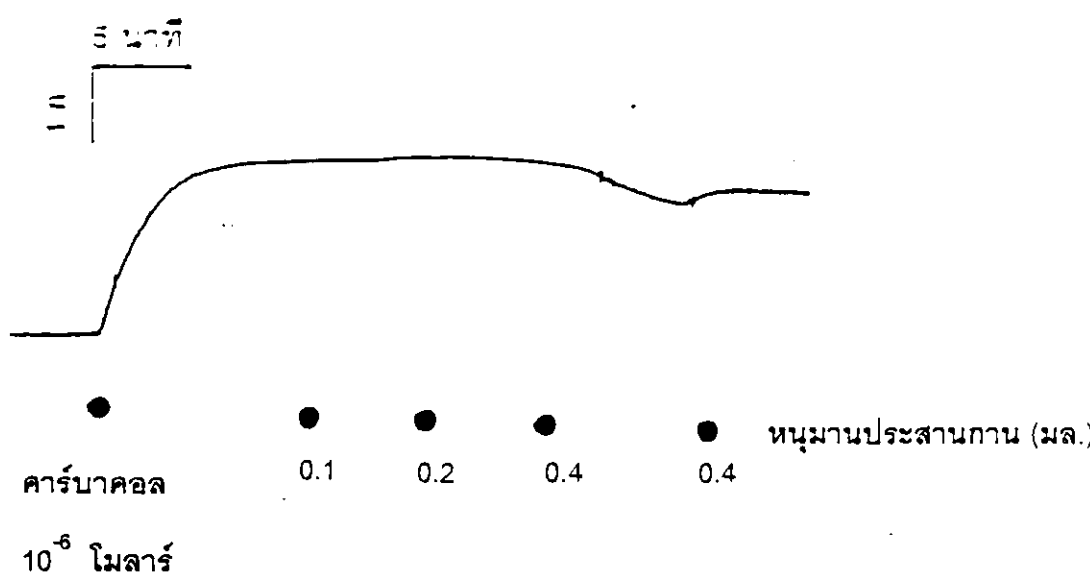
รูปที่ 3 กราฟแสดงผลของไอโซโปรเทอรินอลที่ความเข้มข้น 0.2×10^{-5} ไมลาร์ ต่อความแรงในการบีบตัวของเอเดรีย (กราฟบน) และอัตราเร็วในการบีบตัวของเอเดรีย (กราฟล่าง) ก่อนและหลังการให้โปรปรานอลอลที่ความเข้มข้น 2.1×10^{-5} ไมลาร์



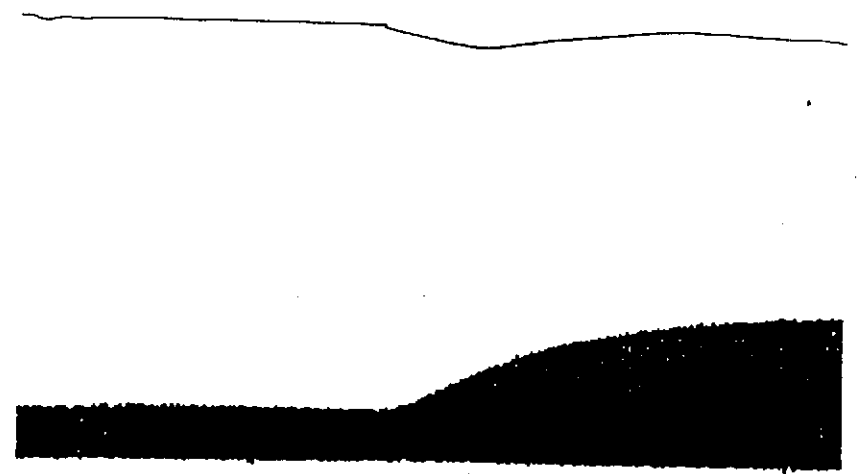
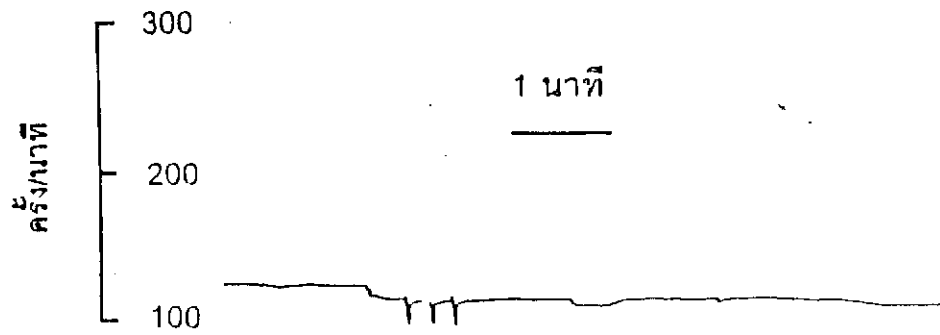
รูปที่ 4 กราฟแสดงความสัมพันธ์ระหว่างความเข้มข้นของน้ำสกัดหยาบของผักเบียร์ใหญ่ กับอัตราเร็วในการบีบตัวและความแรงในการบีบตัวของเอเดรีย (กราฟสองเส้นบน) ส่วนกราฟสองเส้นล่าง แสดงผลของน้ำสกัดหยาบของผักเบียร์ใหญ่ที่ความเข้มข้น 0.7 มล. ต่ออัตราเร็วในการบีบตัวและความแรงในการบีบตัวของเอเดรีย ก่อน (กราฟซ้าย) และหลัง (กราฟขวา) จากการให้โปรปรานอลอล (2.1×10^{-5} โมลาร์)



รูปที่ 5 กราฟแสดงความสัมพันธ์ระหว่างความเข้มข้นของน้ำสกัดหยาบของผักเบี้ยใหญ่ กับการคลายตัวของกล้ามเนื้อเรียบของหลอดลม ที่ถูกทำให้หดตัวโดยคาร์บาซอล (10^{-6} โมลาร์) (กราฟบน) ส่วนและกราฟแสดงผลของน้ำสกัดหยาบของผักเบี้ยใหญ่ที่ความเข้มข้น 0.7 มล. ต่อการคลายตัวของกล้ามเนื้อเรียบของหลอดลม ที่ถูกทำให้หดตัวโดยคาร์บาซอล (10^{-6} โมลาร์) ก่อน (กราฟกลาง) และหลัง (กราฟล่าง) จากการให้โพรปรานอลอล (2.1×10^{-5} โมลาร์)



รูปที่ 6 กราฟแสดงความสัมพันธ์ระหว่างความเข้มข้นของน้ำสกัดหยาบของหนุ่มาณประสานกาย กับความแรงในการบีบตัว(กราฟบน) และอัตราเร็วในการบีบตัวของเอเดรีย (กราฟกลาง) ส่วนกราฟล่าง แสดงผลของน้ำสกัดหยาบของหนุ่มาณประสานกาย กับการคลายตัวของกล้ามเนื้อเรียบของหลอดลม

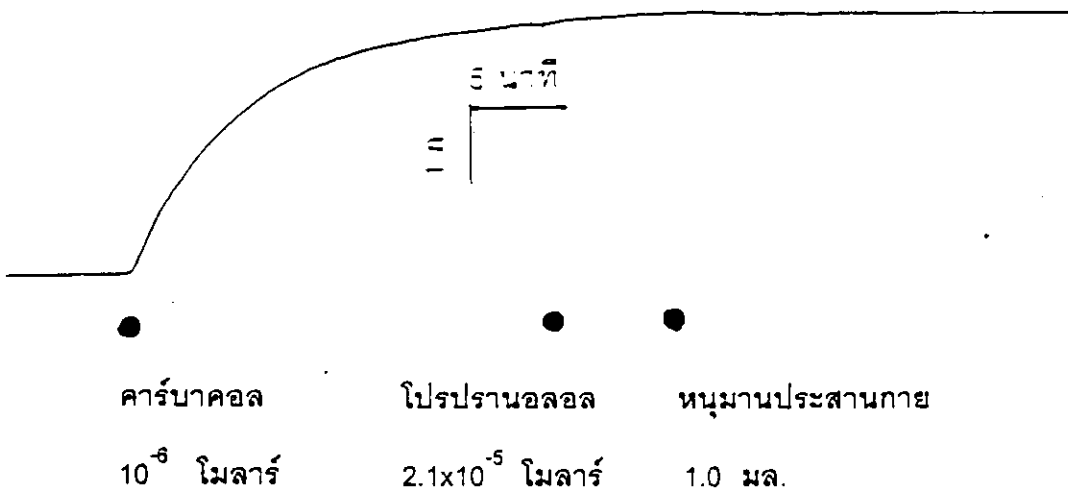
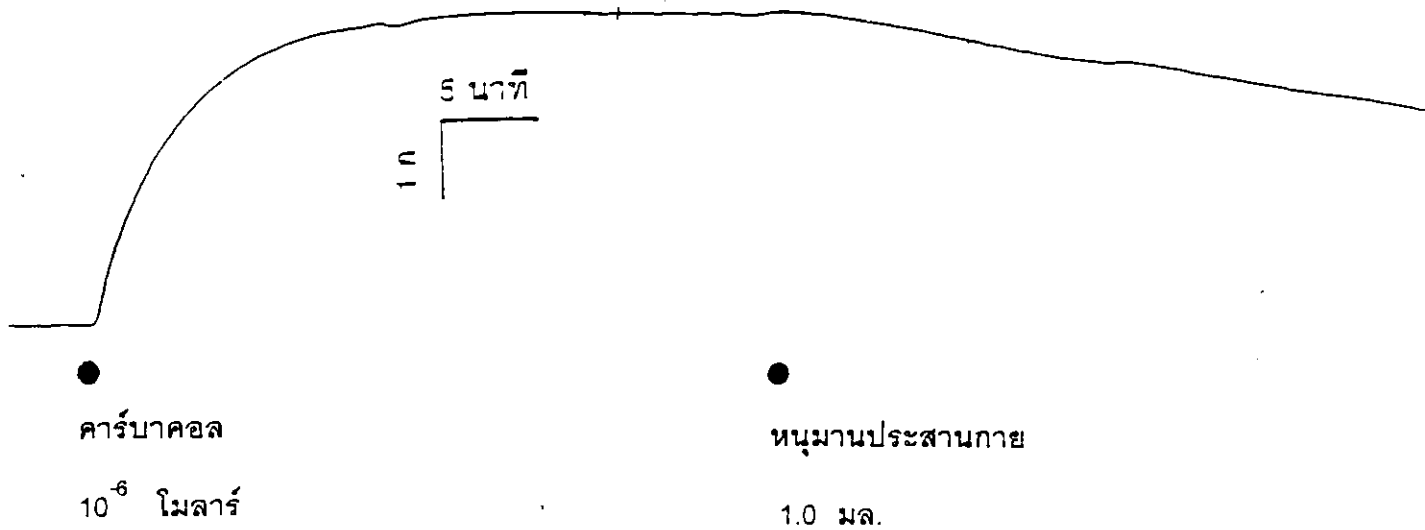


●
หนูมานประสานกาย
0.7 มล.

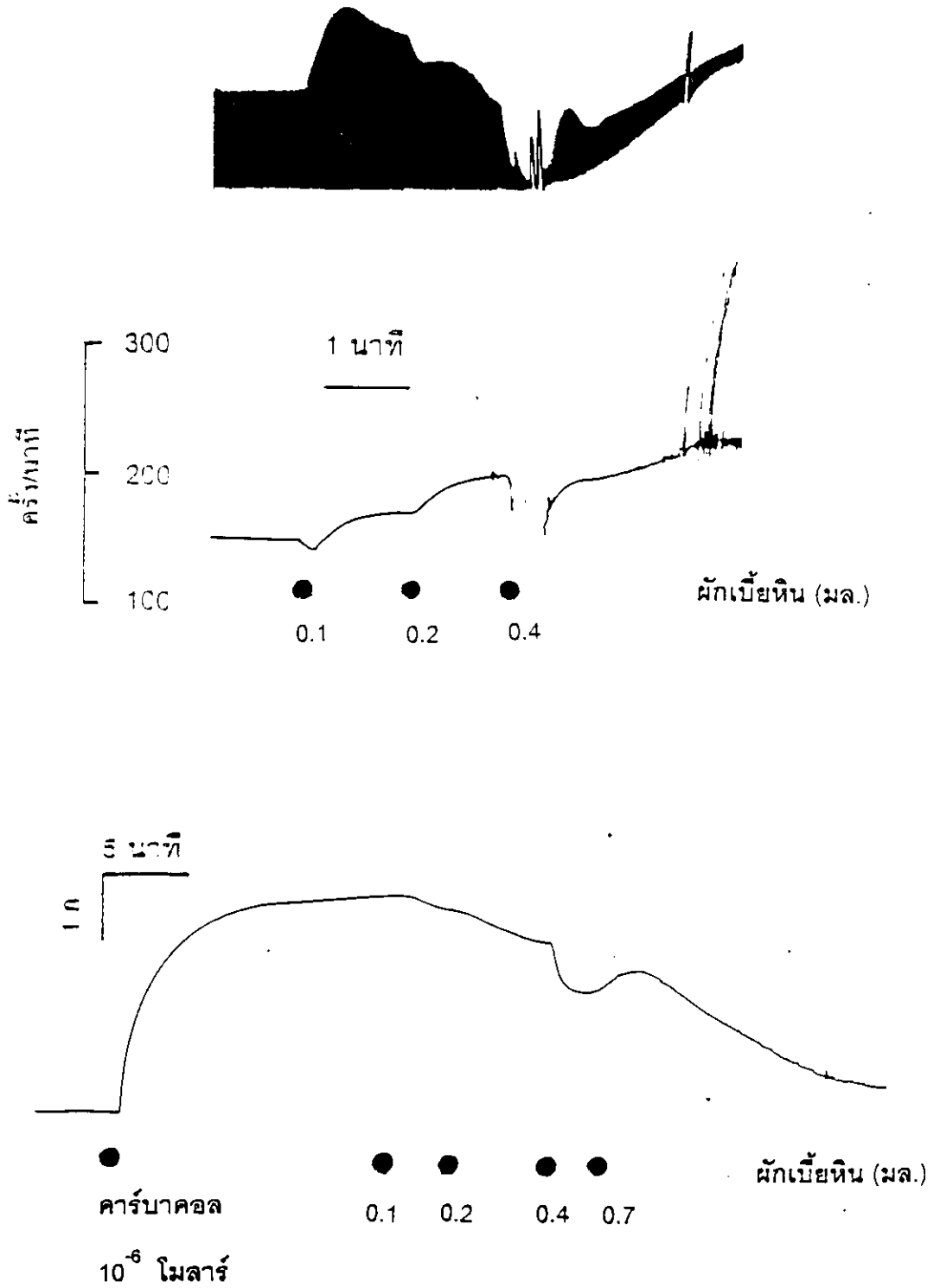
● โปรปรานอลอล
 2.1×10^{-5} โมลาร์

● หนูมานประสานกาย
0.7 มล.

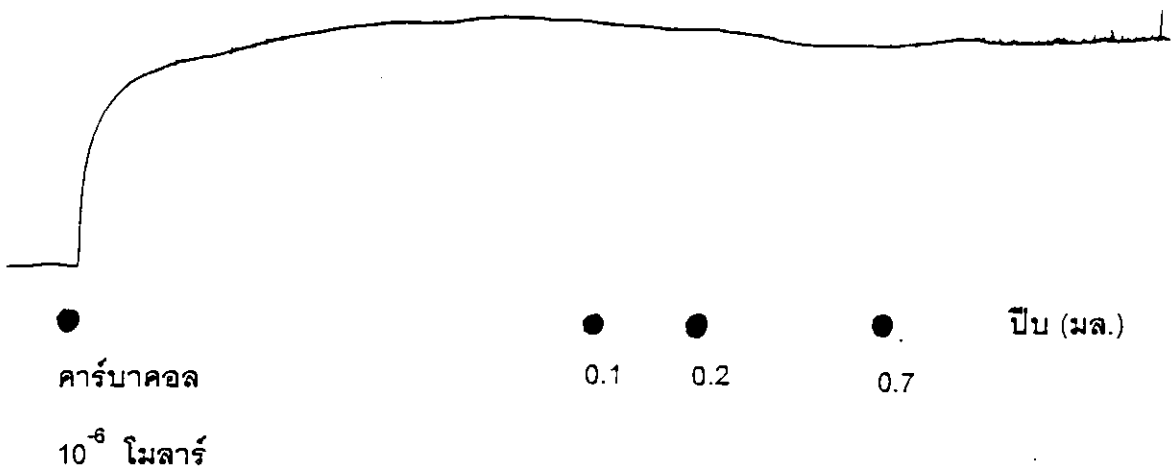
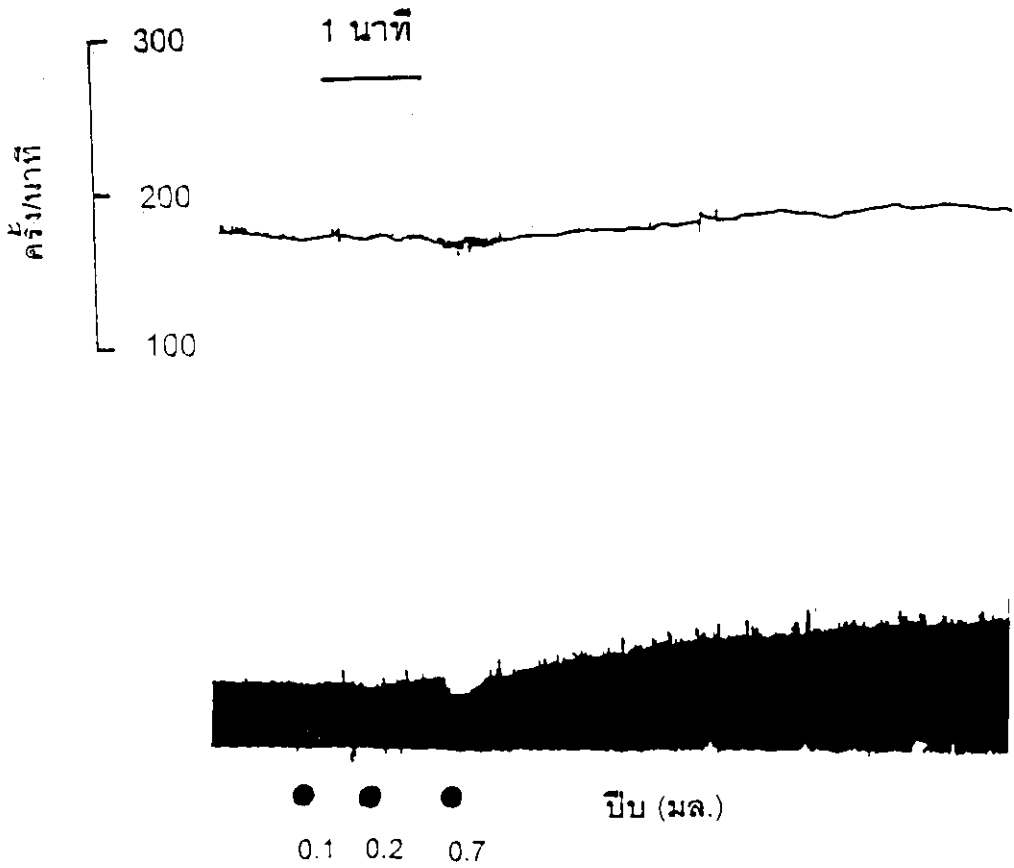
รูปที่ 7 กราฟแสดงผลของน้ำสกัดหยาบของหนูมานประสานกาย ที่ความเข้มข้น 0.7 มล. ต่ออัตราเร็วในการบีบตัว(กราฟบน) และความแรงในการบีบตัวของเอเดรีย(กราฟล่าง) ก่อน (กราฟซ้าย)และหลัง(กราฟขวา)จากการให้โปรปรานอลอล (2.1×10^{-5} โมลาร์)



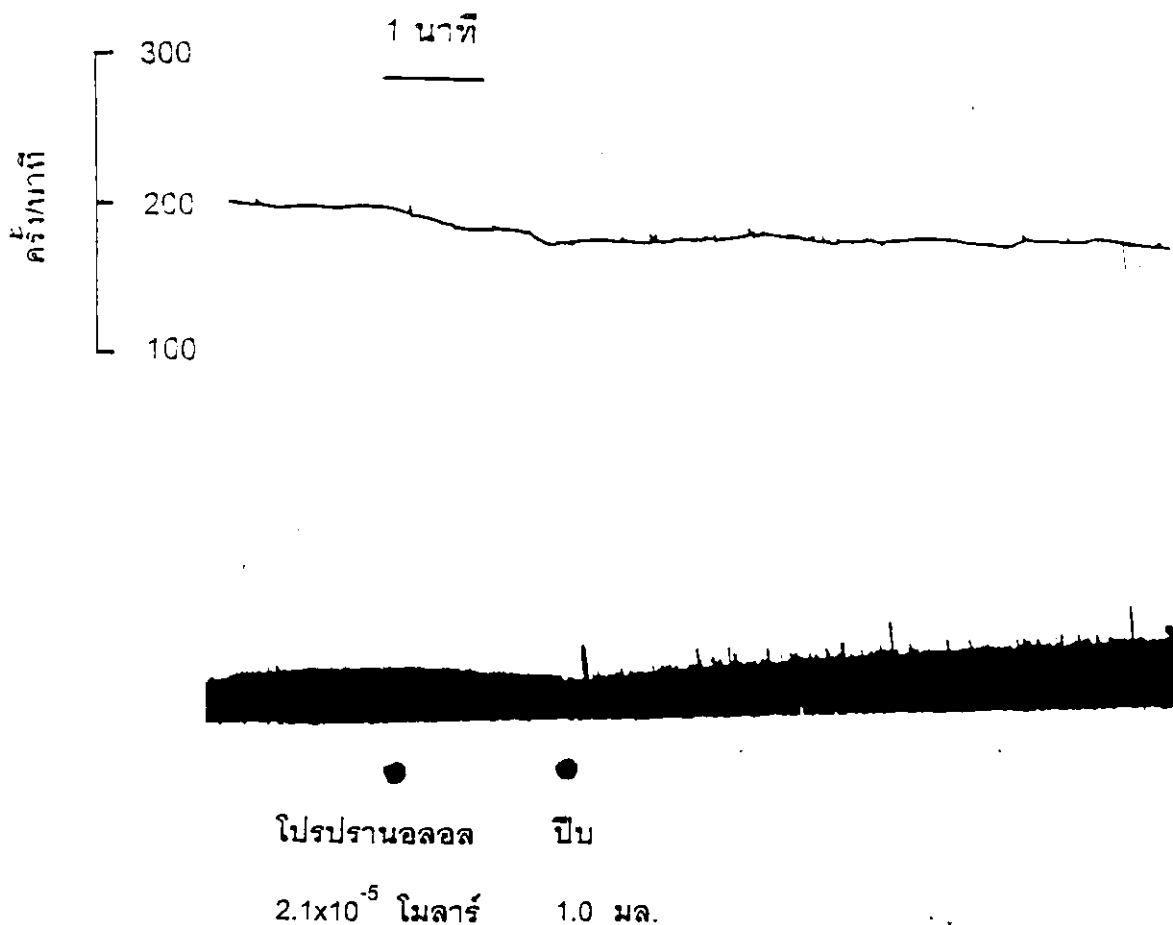
รูปที่ 8 กราฟแสดงผลของน้ำสกัดหยาบของหนูมานประสานกายที่ความเข้มข้น 1.0 มล. ต่อการคลายตัวของกล้ามเนื้อเรียบของหลอดลม ที่ถูกทำให้หดตัวโดยคาร์บาคอล(10^{-6} โมลาร์) ก่อน (กราฟบน) และหลัง(กราฟล่าง)จากการให้โปรปรานอลอล (2.1×10^{-5} โมลาร์)



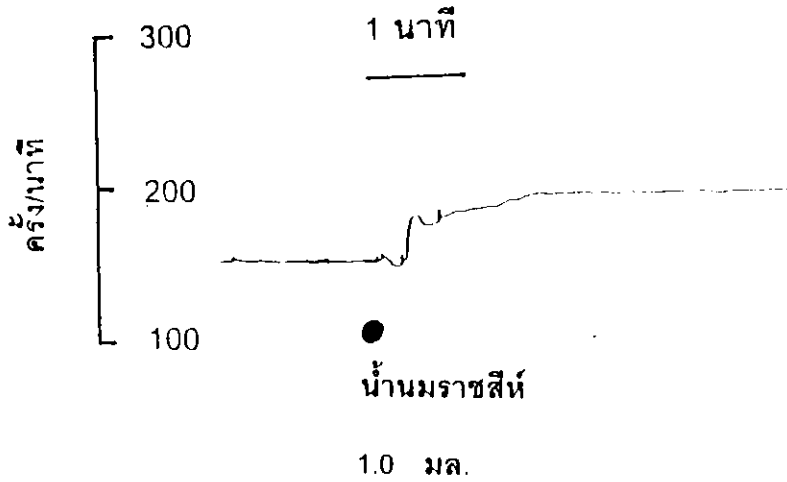
รูปที่ 9 กราฟแสดงความสัมพันธ์ระหว่างความเข้มข้นของน้ำสกัดหยาบของฝักเบี้ยหิน กับความแรงในการบีบตัว(กราฟบน) และอัตราเร็วในการบีบตัวของเอเตรีย (กราฟกลาง) ส่วนกราฟล่าง แสดงผลของน้ำสกัดหยาบของฝักเบี้ยหิน กับการคลายตัวของกล้ามเนื้อเรียบของหลอดลม ที่ถูกทำให้หดตัวโดยคาร์บาคอลล (10⁻⁶ โมลาร์)



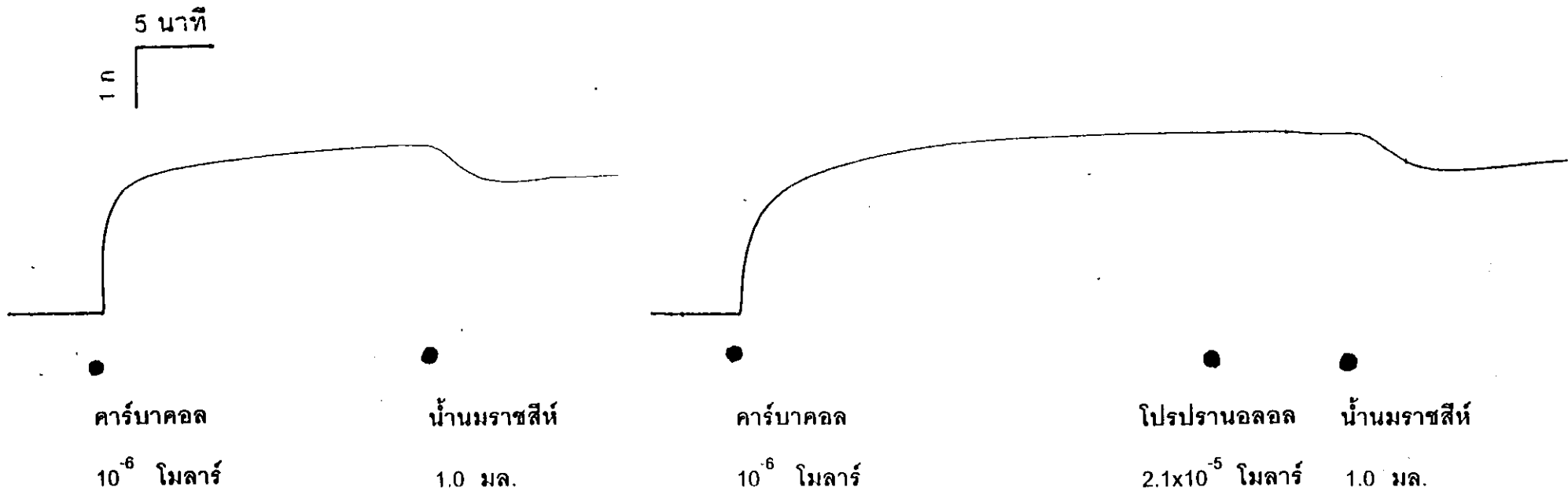
รูปที่ 10 กราฟแสดงความสัมพันธ์ระหว่างความเข้มข้นของน้ำสกัดหยาบของปีบ กับอัตราเร็วในการบิบตัว(กราฟบน) และความแรงในการบิบตัวของเอเดรีย (กราฟกลาง) ส่วนกราฟล่าง แสดงผลของน้ำสกัดหยาบของปีบ กับการคลายตัวของกล้ามเนื้อเรียบของหลอดลม ที่ถูกทำให้หดตัวโดยคาร์บาคอล (10^{-6} ไมลาร์)



รูปที่ 11 กราฟแสดงผลของน้ำสกัดหยาบของบีบ ที่ความเข้มข้น 1.0 มล. ต่ออัตราเร็วในการบีบตัว(กราฟบน) และความแรงในการบีบตัวของเอเดรีย(กราฟล่าง) ก่อนและหลังจากการให้ไปรปรานอลอล (2.1×10^{-5} ไมลาร์)



รูปที่ 12 กราฟแสดงผลของน้ำสกัดหยาบของน้ำนมราชสีห์ ที่ความเข้มข้น 1.0 มล. ต่อความแรงในการบีบตัว(กราฟบน) และอัตราเร็วในการบีบตัวของเอเตรีย(กราฟล่าง) ก่อนและหลังจากการให้โพรปรานอลอล (2.1×10^{-5} โมลาร์)



รูปที่ 13 กราฟแสดงผลของน้ำสกัดหยาบของน้ำนมราชสีห์ ที่ความเข้มข้น 1.0 มล. ต่อการคลายตัวของกลัมนเนื้อเรียบของหลอดลม ที่ถูกทำให้หดตัวโดยคาร์บอกอล(10^{-6} โมลาร์) ก่อน (กราฟซ้าย) และหลัง(กราฟขวา)จากการให้โปรปรานอลอล (2.1×10^{-5} โมลาร์)

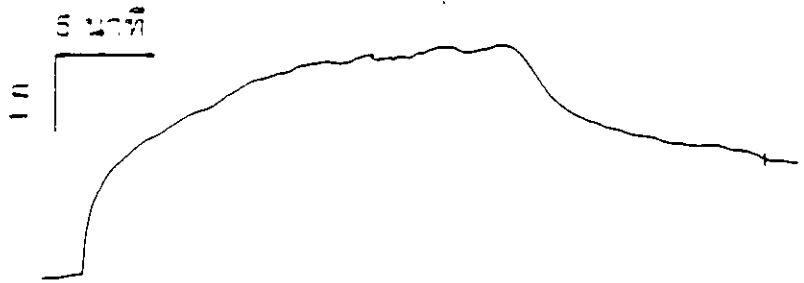


● คาร์บอกซิล

10^{-6} โมลาร์

● โพลซาว

1.0 มล.



● คาร์บอกซิล

10^{-6} โมลาร์

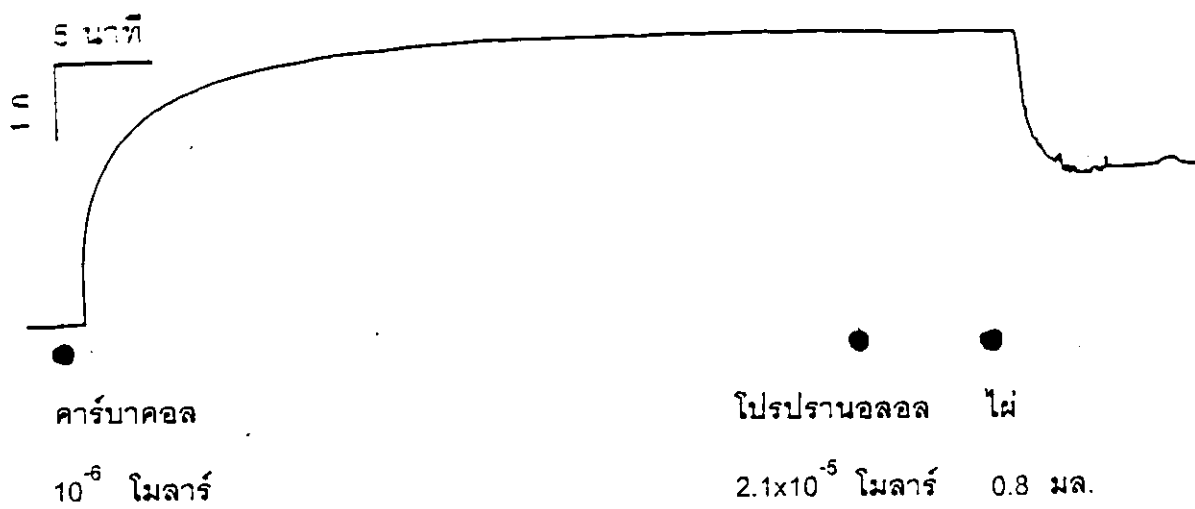
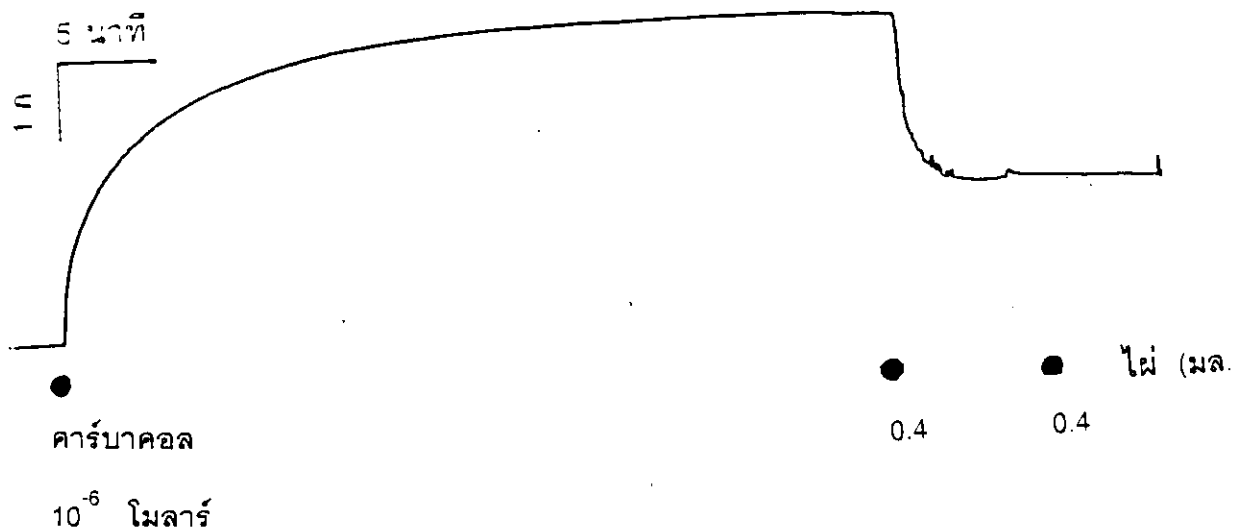
● โปปรานอล

2.1×10^{-5} โมลาร์

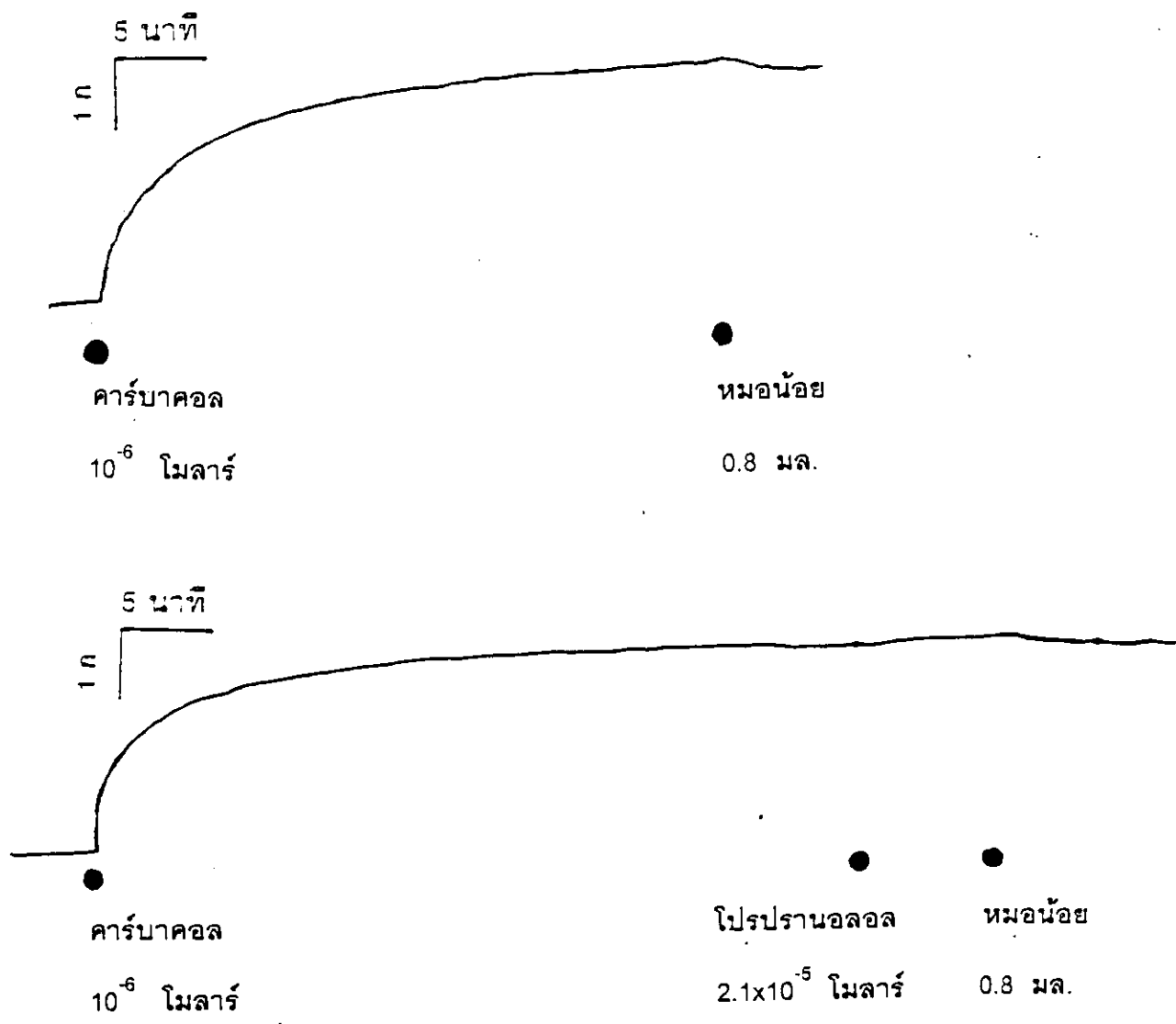
● โพลซาว

1.0 มล.

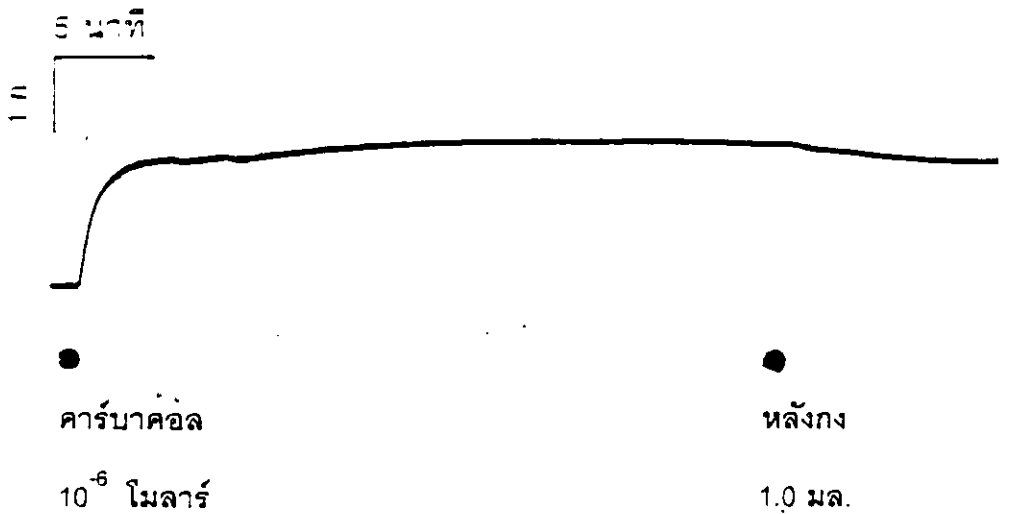
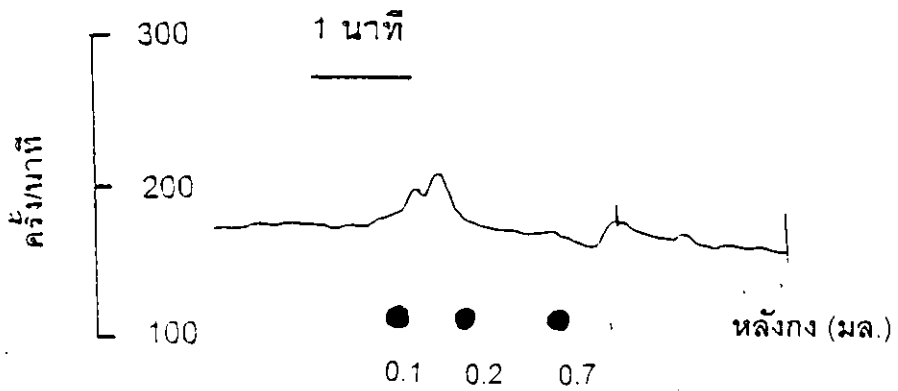
รูปที่ 14 กราฟแสดงผลของน้ำสกัดหยาบของโพลซาว ที่ความเข้มข้น 1.0 มล. ต่อการคลายตัวของกล้ามเนื้อเรียบของหลอดลม ที่ถูกทำให้หดตัวโดยคาร์บอกซิล (10^{-6} โมลาร์) ก่อน (กราฟบน) และหลัง (กราฟล่าง) จากการให้โปปรานอล (2.1×10^{-5} โมลาร์)



รูปที่ 15 กราฟแสดงผลของน้ำสกัดหยาดของไม้ ที่ความเข้มข้น 1.0 มล. ต่อการคลายตัวของกล้ามเนื้อเรียบของหลอดลม ที่ถูกทำให้หดตัวโดยคาร์บอนไดออกไซด์ (10^{-6} โมลาร์) ก่อน (กราฟบน) และหลัง (กราฟล่าง) จากการให้โปรปรานอลอล (2.1×10^{-5} โมลาร์)



รูปที่ 16 กราฟแสดงผลของน้ำสกัดยับยั้งของฮอร์โมนน้อย ที่ความเข้มข้น 1.0 มล. ต่อการคลายตัวของกล้ามเนื้อเรียบของหลอดลม ที่ถูกทำให้หดตัวโดยคาร์บาไดออกไซด์ (10^{-6} โมลาร์) ก่อน (กราฟบน) และหลัง (กราฟล่าง) จากการให้โพรพิลปรานอลอล (2.1×10^{-5} โมลาร์)



รูปที่ 17 กราฟแสดงความสัมพันธ์ระหว่างความเข้มข้นของน้ำสกัดยับยั้งของหลังง กับความแรงในการบีบตัว(กราฟบน) และอัตราเร็วในการบีบตัวของเอเดรีย (กราฟกลาง) ส่วนกราฟล่าง แสดงผลของน้ำสกัดยับยั้งของหลังง กับการคลายตัวของกล้ามเนื้อเรียบของหลอดลมที่ถูกทำให้หดตัวโดยคาร์บอกซ์ (10^{-6} โมลาร์)